



شبیه‌سازی تبخیر روزانه به کمک مدل‌های سیستم استنتاج تطبیقی عصبی- فازی (ANFIS) و رگرسیون چندمتغیره (MR) در ایستگاه سینوپتیک تبریز

صدیقه محمدی^۱ و علیجان آبکار^۲

^۱- استادیار، پژوهشگاه علوم و تکنولوژی پیشرفته و علوم محیطی، داشگاه تحقیقات تکمیلی صنعتی و فناوری پیشرفته، کرمان (نویسنده مسؤول: mohamadisedigeh@gmail.com)

^۲- استادیار مرکز تحقیقات کشاورزی و منابع طبیعی استان کرمان، سازمان تحقیقات، آموزش و ترویج کشاورزی، کرمان، تهران
تاریخ دریافت: ۹۵/۴/۸ تاریخ پذیرش: ۹۶/۱/۱۵

چکیده

استفاده از مدل‌های تجربی برآورد تبخیر نیاز به متغیرهای زیادی دارد که برخی از آن‌ها در ایستگاه‌های کشور قابل اندازه‌گیری نیستند لذا این تحقیق با هدف شبیه‌سازی تبخیر روزانه در ایستگاه سینوپتیک تبریز به کمک داده‌های هواشناسی شامل متوسط درجه حرارت (m/s)، میانگین سرعت باد (%) و ساعات آفتابی با استفاده از مدل‌های سیستم استنتاج تطبیقی عصبی- فازی و رگرسیون چندمتغیره با معماری‌های مختلف و در وضعیت‌های مختلف از متغیرهای ورودی انجام شد. پس از استانداردسازی داده‌ها، جهت آموزش شبکه از ۸۵ درصد داده‌ها و جهت آزمون کارایی مدل‌ها (با شاخص‌های RMSE و R²) از ۱۵ درصد داده‌ها استفاده شد. نتایج مدل سیستم استنتاج تطبیقی عصبی- فازی نشان داد که مدل بهینه نروفازی با ۱ و ۲ متغیر ورودی از نوع شبکه (با ۳ تابع عضویت گوسی) و با ۳ و ۴ متغیر ورودی از نوع خوش‌های است. طبق نتایج مدل رگرسیونی اضافه نمودن متغیر رطوبت نسبی باعث تغییرات قابل ملاحظه شاخص‌های اعتبارسنجی در بخش داده‌های آموزش و آزمون نشد و متغیر ساعت آفتابی در مدل رگرسیونی حفظ نشد. طبق نتایج می‌توان به کمک مدل سیستم استنتاج تطبیقی عصبی- فازی نسبت به رگرسیون، ضریب تبیین شبیه‌سازی را بیش از ۱۰ درصد افزایش داد که لازمه آن استفاده از ۴ متغیر ورودی شامل متوسط درجه حرارت هوا، متوسط سرعت باد، رطوبت نسبی و ساعت آفتابی و مدل‌سازی با مدل نروفازی خوش است.

واژه‌های کلیدی: تبخیر روزانه، تبریز، رگرسیون چندمتغیره، مدل‌سازی، نروفازی

بررسی ارتباط شاخص‌های آب و هوایی در میزان تبخیر
موضوعی است که می‌تواند پیش‌بینی آن را ممکن سازد (۲۳).
تبخیر از تشت به عنوان یک ابزار خام جهت اندازه‌گیری تبخیر می‌باشد (۱). تبخیر از تشت جهت تخمین تبخیر از دریاچه، تبخیر از سطح آزاد آبهای، تبخیر مرجع و تبخیر پتانسیل کاربرد دارد و داده‌های حاصل از آن در تفسیر و تعریف روابط به کار می‌رود (۲۴). توزیع زمانی و مکانی ایستگاه‌های تبخیرسنجی در بسیاری از مناطق دنیا و همچنین در ایران محدود است و خیلی از ایستگاه‌ها تازه تأسیس بوده و فاقد آمارهای درازمدت هستند (۱۶). ولی برخلاف ایستگاه‌های تبخیرسنجی، ایستگاه‌های هواشناسی که در آن متغیرهایی مثل درجه حرارت هوا، رطوبت هوا، سرعت باد و ساعات آفتابی اندازه‌گیری می‌شوند، توزیع زمانی و حتی توزیع مکانی بهتری دارند. کمک گرفتن از رابطه متغیرهای هواشناسی با تبخیر به دلیل در دسترس بودن آمار روزانه طولانی مدت می‌تواند سودمند و مفید باشد. در این راستا به دلیل وجود اثرات متقابل بین متغیرهای مستقل موثر بر این پدیده و پیچیدگی رابطه (۸)، استفاده از روش‌های نوین ضروری به نظر می‌رسد. به همین علت، در دهه‌های اخیر سعی شده روش‌هایی مورد استفاده قرار گیرند که بتوانند شرایط طبیعی را تا حدودی درک کنند و نتایج حاصل از آن‌ها از دقت و صحت مناسبی برخوردار باشند. یکی از روش‌هایی که در بسیاری از علوم از جمله اقلیم شناسی و هیدرولوژی توسعه یافته است، استفاده از روش‌های محاسبات نرم نظری

مقدمه

تبخیر نقش کلیدی در هیدرولوژی یک حوضه دارد. میزان تبخیر واقعی در اکوسیستم‌های خشکی جهان دو سوم میزان بارندگی در این اکوسیستم‌ها است (۱۸). تبخیر یک جزء هواشناسی اصلی از چرخه هیدرولوژیکی، نقش کلیدی در مطالعات منابع آبی و تغییرات اقلیمی دارد (۶). تخمین صحیح تبخیر، به عنوان یکی از متغیرهای اصلی چرخه هیدرولوژیکی، در مطالعات متعدد از جمله مطالعات تعادل آبی هیدرولوژیکی، برنامه‌ریزی و توسعه منابع آبی بسیار حیاتی می‌باشد (۴). در ایران حدود ۷۲ درصد از نزولات جوی بر روی خشکی‌ها بالا‌فاصله تبخیر می‌شود. در مقیاس جهانی این رقم ۵۷ درصد بوده و این خود اهمیت تبخیر و تعریف خصوصاً در مناطق با اقلیم خشک و نیمه‌خشک ایران را مشخص می‌کند (۳). در بین فرآیندهای هیدرولوژیکی، تبخیر دارای پیامدهای گسترده‌ای می‌باشد و از اهمیت ضروری در مدیریت منابع آب در نواحی خشک و نیمه‌خشک برخوردار است. بنابراین در دسترس بودن داده‌های دقیق تبخیر برای مدیریت کارآمد طرح‌های منابع آب و نیز طرح‌های مرتبط با علوم هیدرولوژی، کشاورزی، جنگل‌داری و آبیاری دارای اهمیت بالایی می‌باشد (۲۲).

تبخیر تابع عوامل مختلف بوده و به علت نیاز به متغیرهای آب و هوایی متفاوت و اثر متقابل این متغیرها بر همدیگر یک پدیده غیر خطی و پیچیده است و در مطالعه آن باید روش‌های دقیقی را برای شبیه‌سازی به کار گرفت.

سیستم استنتاج فازی (FIS) می‌توان نتایج با دقت بالایی کسب نمود. سلطانی و همکاران (۲۹) در مدل سازی تبخر از تستک در جنوب شرق کشور از روش‌های شبکه عصبی و سیستم استنتاج تطبیقی عصبی - فازی کمک گرفتند و به کارایی بیشتر مدل سیستم استنتاج تطبیقی عصبی - فازی نسبت به شبکه عصبی اذاعان داشتند. نورانی و سیاح فرد (۲۱)، به آنالیز حساسیت داده‌های ورودی به شبکه عصبی مصنوعی و مقایسه آن با روش‌های تجربی جهت برآورد مقدار تبخر روزانه در ایستگاه‌های تبریز و ارومیه پرداختند. نتایج تحقیقات ایشان حاکی از برتری نسبتی مدل شبکه عصبی نسبت به روش‌های تجربی است. دانشفرار (۷)، به تحلیل حساسیت متغیرهای موثر بر میزان تبخر روزانه با استفاده از الگوریتم Garson و شبکه عصبی مصنوعی در ایستگاه سینوپتیک تبریز در دوره آماری پنج ساله، ۱۳۸۶ تا ۱۳۹۰ با استفاده از متغیرهای هواشناسی پرداختند. نتایج تحقیقات ایشان نشان داد که میانگین دما و رطوبت نسبی بیشترین تاثیر و ساعات آفتابی، میزان تشعشع، سرعت باد و فشار سطح ایستگاه کمترین تاثیر را بر روی میزان تبخر از تشت شهر تبریز دارد. احمدی و همکاران (۲)، در تحقیقی از مدل‌های رگرسیونی چندمتغیره خطی جهت تعیین متغیرهای ورودی روش فازی - عصبی استفاده کردند طبق نتایج ایشان عامل رطوبت نسبی هوا در پدیده تبخر بی‌اثر بود. پیری و همکاران (۲۲)، از ترکیب الگوریتم بهینه‌سازی کوکو و تکنیک‌های شبکه عصبی مصنوعی و عصبی - فازی در ایستگاه‌های ایرانشهر، زابل و شیزار با استفاده از متغیرهای هواشناسی در پیش‌بینی تبخر روزانه از سطح تشت بهره جستند. نتایج تحقیقات ایشان نشان داد که این روش ترکیبی نتایج قابل قبولی را ارائه نمی‌دهد در حالی که استفاده از روش‌های شبکه عصبی مصنوعی و عصبی - فازی به تنهایی نتایج صحت قابل قبولی را در پیش‌بینی تبخر روزانه به دست می‌دهد. با توجه به سهم بالای میزان تبخر در چرخه هیدرولوژیکی مناطق خشک و نیمه‌خشک (۳، ۲۲) و همچنین داشتن رابطه پیچیده آن با متغیرهای هواشناسی با تبخر (۲۳)، شبیه‌سازی تبخر با حداقل دقت ضروری به نظر می‌رسد. لذا این تحقیق با هدف شبیه‌سازی تبخر روزانه به کمک متغیرهای داده‌های هواشناسی ایستگاه سینوپتیک تبریز (۲۰۱۵-۱۹۹۲) با استفاده از مدل‌های سیستم استنتاج تطبیقی عصبی - فازی (ANFIS) و رگرسیون چندمتغیره انجام شد.

مواد و روش‌ها

به منظور مدل سازی تبخر از تستک تبخر، آمار روزانه یک دوره ۲۳ ساله (سال‌های ۱۹۹۲ تا ۲۰۱۵) از ایستگاه سینوپتیک تبریز (با کد ایستگاه ۴۰۷۰۶، طول جغرافیایی ۴۶ درجه و ۱۷ دقیقه شرقی، عرض جغرافیایی ۳۸ درجه و ۵ دقیقه شمالی) که شامل ۵۳۴۷ داده روزانه ثبت شده بود، استفاده شد. متغیرهای ورودی شامل متوسط درجه حرارت هوا، متوسط سرعت باد، رطوبت نسبی و ساعات آفتابی است که به منظور بررسی اثر این متغیرها از ترکیب‌های مختلف آنها برای تخمین میزان تبخر از کمک گرفته شد. جهت

منطق فازی، شبکه‌های عصبی مصنوعی و یا ترکیبی از این دو روش است که به سیستم استنتاج تطبیقی عصبی - فازی (ANFIS) مشهور است (۹). در این رابطه تئوری مجموعه فازی یک چارچوب ریاضی را در مدل سازی شرایط گنج و نامشخص ایجاد می‌کند. شبکه‌های عصبی دارای قابلیت آموزش این چنین پیچیدگی‌های تولید اطلاعات و کلاس‌بندی ورودی‌ها می‌باشند. در سیستم استنتاج تطبیقی عصبی - فازی با بهره‌گیری از فوائد این دو تئوری یک اینبار قوی را برای کنترل هوشمند ایجاد می‌کند. از سوی دیگر به دلیل توانایی لحظه هم زمان عوامل موثر تبخر در قالب ارائه رابطه ریاضی، با مدل رگرسیون چندمتغیره (که از روش‌های چندمتغیره پرکاربرد به شمار می‌رود) می‌توان به نتایج سازگار با شرایط محیط و طبیعت نائل شد (۱۱). کیسی (۱۴) با استفاده از شبکه‌های عصبی و منطق فازی، تبخر روزانه از استفاده از مدل‌های سازگار با شرایط محیط و طبیعت نائل شد (۱۱). کیسی (۱۴) با استفاده از شبکه‌های عصبی و منطق فازی، تبخر روزانه از تستک را مدل‌سازی کرد. نتایج ایشان نشان داد که روش منطق فازی نتایج بهتری را نسبت به شبکه عصبی مصنوعی ارائه می‌کند. البته نتایج به دست آمده از شبکه‌های عصبی نیز در این پژوهش رضایت‌بخش بوده و خطایی برابر ۰/۱۷ میلی‌متر در روز داشته است. شیرسات (۲۸) از مدل‌های شبکه عصبی مصنوعی، رگرسیون آماری و چند مدل اقلیمی جهت پیش‌بینی تبخر روزانه از تست با آب و هوای نیمه خشک در دهلهی نو هند با استفاده از داده‌های در یک دوره چهار ساله (۲۰۰۷-۲۰۰۴) بهره جستند. نتایج حاصل نشان داد که مدل شبکه عصبی در مقایسه با سایر روش‌ها عملکرد بهتری برای تخمین مقدار تبخر روزانه از تست داشته است. گویال و همکاران (۱۲)، به مدل‌سازی تبخر از تستک در اقلیم جنب حاره‌ای منطقه کارسو با استفاده از مدل‌های شبکه عصبی مصنوعی، منطق فازی، عصبی - فازی و رگرسیونی با استفاده از متغیرهای هواشناسی پرداختند. نتایج ایشان حاکی از برتری نسبی مدل منطق فازی نسبت به سایر مدل‌ها می‌باشد. کیسی و همکاران (۱۵)، از روش‌های درخت تصمیم CHAID، طبقه‌بندی و رگرسیون درختی (C&RT) و شبکه عصبی مصنوعی (ANN) جهت شبیه‌سازی تبخر روزانه از تستک در ایستگاه‌های پلاتلی و آنکارا با استفاده از متغیرهای هواشناسی استفاده کردند. نتایج تحقیقات ایشان حاکی از آن است که روش شبکه عصبی مصنوعی در مقایسه با دو روش دیگر نتایج بهتری را ارائه می‌دهد. شایان نژاد و همکاران (۳۷) تبخر بالقوه را از روش‌های رگرسیون فازی، شبکه عصبی مصنوعی و روش پنمن مانیثت تعیین نمودند. نتایج نشان داد که بهترین ترکیب ورودی برای شبیه‌سازی تبخر، درجه حرارت هوا، میانگین رطوبت نسبی، ساعات آفتابی و سرعت باد می‌باشند. زارع ایانه و همکاران (۳۱) در بررسی خود از روش‌های شبکه عصبی و سیستم استنتاج تطبیقی عصبی - فازی جهت برآورد تبخر در استان همدان استفاده کردند و به این نتیجه رسیدند که کارایی مدل‌های سیستم استنتاج تطبیقی عصبی - فازی اختلاف ملموسی با مدل‌های شبکه عصبی نداشتند. مرادی و همکاران (۱۹) در برآورد تبخر و تعریق مرجع روزانه مشهد به این نتیجه رسیدند که به کمک دو متغیر درجه حرارت هوا و رطوبت نسبی با استفاده از

شیوه‌سازی تبخیر روزانه به کمک مدل‌های سیستم استنتاج تطبیقی عصبی- فازی ۲۰۲
 بودن داده‌ها، ۸۵ درصد داده‌ها جهت آموزش شبکه و ۱۵ درصد داده‌ها جهت آزمون کارایی مدل‌ها بکار گرفته شد. مشخصات آماری داده‌های آموزش و آزمون در جدول ۱ نمایش داده شده است.

مدل‌سازی از وضعیت‌های مختلف ورودی شامل ۱ متغیر (در ۴ وضعیت ورودی تک متغیره)، ۲ متغیر (در ۶ وضعیت ورودی دو متغیره)، ۳ متغیر (در ۴ وضعیت سه متغیره) و ۴ متغیر (۱ وضعیت ۴ متغیره) کمک گرفته شد. پس از اطمینان از نرمال

Table 1. Statistical characteristics of studied variables

داده آزمون				داده آموزش				مشخصات آماری	
کمینه	بیشینه	انحراف معیار	میانگین	کمینه	بیشینه	انحراف معیار	میانگین	تبخیر روزانه (mm)	ساعات آفتابی روزانه (hr)
-	۲۰/۵	۴/۲۵	۸/۴	-	۴۴/۳	۴/۳۷	۸/۶۸		
-	۱۳/۲	۳/۱	۹/۴	-	۱۳/۵	۳/۲۱	۹/۳۳		
۱۶/۷۵	۹۱/۵	۱۴/۴۷	۴۴/۶۴	۱۰/۵	۹۶/۳۸	۱۴/۲۷	۴۲/۴۵	میانگین رطوبت (%)	
-۰/۱۳	۹/۵	۱/۷۸	۳/۴۵	-	۱۱/۲۵	۱/۵۷	۲/۷۵	متوسط سرعت باد (m/s)	
-۳/۲	۳۲/۲	۶/۵۶	۱۹/۱۹	-۵/۲	۳۴	۶/۶۹	۱۹/۴۲	متوسط درجه حرارت (°C)	(°)

هم ضرب میشوند و حاصل که وزن قانون‌ها می‌باشد بدست می‌آید.

لایه ۳: هر گره در این لایه عمل محاسبه وزن نسبی قانون‌ها را انجام می‌دهد

لایه ۴: هر گره در این لایه دارای تابع گره است که به تمام ورودی‌ها و یک گره در لایه سوم متصل است.

لایه ۵: گره در این لایه گره ثابت است و وظیفه جمع‌بندی تمام خروجی قانون‌ها را دارد. هدف آن حداقل نمودن اختلاف خروجی به دست آمده از شبکه و خروجی واقعی است.

در مرحله آموزش با اصلاح متغیرهای درجه عضویت بر اساس میزان خطای قابل قبول، مقادیر ورودی به مقادیر واقعی نزدیک‌تر می‌شوند. روش آموزش اصلی در این سیستم، روش پس انتشار خطأ است که در ترکیب با کمترین مجموع مربعات خطأ، روش ترکیبی^۳ به دست می‌آید. که در این تحقیق هر دو روش موردنظری بررسی قرار گرفت. برای استفاده از ANFIS دو روش منقطع‌سازی شبکه‌ای^۳ و خوشبندی جزئی^۴ وجود دارد که تفاوت عمده این دو روش در چگونگی تعیین تابع عضویت فازی است. البته در روش خوشبندی نوع تابع عضویت با توجه به اطلاعات ورودی و دسته‌بندی‌های موجود، توسط خود مدل تعیین می‌شود. در راستای تعیین بهترین مدل شیوه‌سازی ANFIS در این تحقیق، برای تخمین تبخیر روزانه با تغییر الگوریتم آموزشی، روش منقطع‌سازی توابع عضویت ورودی و تعداد توابع عضویت آرایش‌های مختلف اجرا گردید.

پس از تهیه ماتریس متغیرهای ورودی مدل، عمل استانداردسازی داده‌ها بعنوان اولین گام مدل طبق رابطه انجام شد:

رابطه (۱)

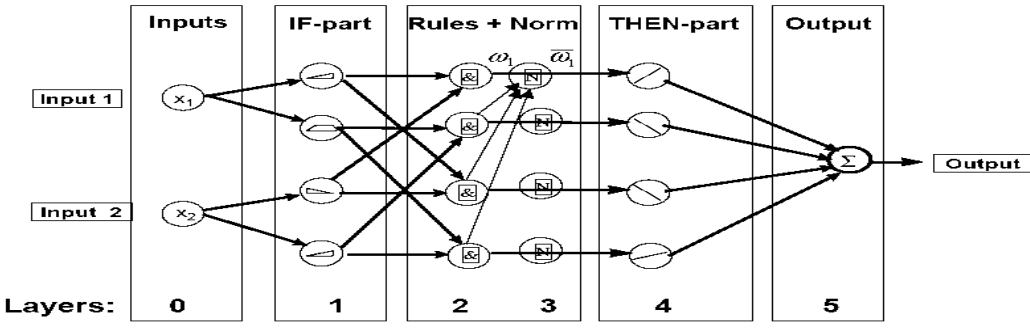
$$a_i = 0.1 + 0.8 \left(\frac{A_i - A_{\min}}{A_{\max} - A_{\min}} \right)$$

که در آن a_i : مقدار نرمال شده داده‌ها، A_i : مقدار واقعی داده‌ها، A_{\min} : حداقل داده مربوط به متغیر مورد نظر و A_{\max} : حداکثر داده مربوط به متغیر مورد نظر است. از سیستم استنتاج تطبیقی عصبی- فازی (ANFIS) و رگرسیون چند متغیره (MR) با معماری‌های مختلف جهت شیوه‌سازی داده‌های تبخیر روزانه کمک گرفته شد که در ذیل به شرح آن‌ها پرداخته می‌شود.

مدل سیستم استنتاج تطبیقی عصبی- فازی

این سیستم با توجه به توانایی ترکیب قدرت زبانی یک سیستم فازی با قدرت عددی یک شبکه عصبی، موفقيت‌های بسیاری را در مدل‌سازی و کنترل سیستم‌های پیچیده داشته است (۲۶). سیستم استنتاج تطبیقی عصبی- فازی شبکه‌ای^۵ لایه‌ای، متشکل از گره‌ها و کمان اتصال‌دهنده گره می‌باشد. شکل ۱ معماری این لایه‌ها را به نمایش می‌گذارد که در این رابطه:

لایه ۱: توابع عضویت متغیرهای ورودی به عنوان تابع گره استفاده می‌شود که توسط کاربر مشخص می‌گردد.
 لایه ۲: هر گره در این لایه به گره‌هایی که نمایش‌دهنده پیش‌فرض‌های قانون مورد نظر است وصل می‌شود. هر گره در این لایه گره ثابت است که در آن سیگنال‌های ورودی در



شکل ۱- معماری شبکه ANFIS
Figure 1- ANFIS network architecture

محاسبه مقادیر ریشه میانگین مربعات خطأ و ضریب تعیین^۲ و از روابط زیر انجام شد (۱۳).

$$RMSE = \sqrt{\frac{1}{n} \sum_{i=1}^n (Z(x_i) - Z^*(x_i))^2} \quad \text{رابطه (۳)}$$

$$R^2 = \frac{\sum_{i=1}^n [(Z(x_i) - \bar{Z})]^2 - \sum_{i=1}^n [(Z(x_i) - Z^*(x_i))^2]}{\sum_{i=1}^n [(Z(x_i) - \bar{Z})]^2} \quad \text{رابطه (۴)}$$

که در آن $Z^*(xi)$: مقدار برآورد شده متغیر مورد نظر، $Z(xi)$: مقدار اندازه‌گیری شده متغیر مورد نظر، \bar{Z} : میانگین میانگین مشاهده‌ای متغیر و n : تعداد داده‌ها می‌باشد.

نتایج و بحث
مدل سیستم استنتاج تطبیقی عصبی - فازی اعتبارسنجی سناریوهای مختلف مدل سیستم استنتاج تطبیقی عصبی - فازی بر اساس شاخص‌های R^2 و RMSE در جدول ۲ ارائه شده است. نتایج حاصل از این بخش حاکی از آن است که مدل بهینه ANFIS در وضعیت متغیرهای ورودی مختلف، متفاوت حاصل شد.

مدل رگرسیونی

این روش یکی از کاربردی‌ترین روش‌های آماری برای تعیین رابطه بین متغیرهاست. رگرسیون چندگانه روشی است که برای ارتباط خطی بین یک متغیر وابسته و یک یا چند متغیر مستقل مورد استفاده قرار می‌گیرد. شکل عمومی آن به شرح زیر می‌باشد:

$$Y_i = \beta_0 + \beta_1 X_{i1} + \beta_2 X_{i2} + \dots + \beta_p X_{ip} + \varepsilon_i \quad \text{رابطه (۲)}$$

که در آن ε_i : خطای مدل، β_1 : ضریب متغیر X_{i1} ، β_2 : ضریب متغیر X_{i2} ، β_0 : عرض از مبدا و Y_i : مقدار مشاهداتی متغیر وابسته است. در روش رگرسیون با رویه گام به گام (Stepwise)، متغیرهای موجود در معادله مورد بررسی قرار می‌گیرند و اگر هر کدام از آنها سطح معنی داری خود را از دست داده باشد، قبل از ورود متغیر جدید این متغیر از معادله خارج می‌شود و در پایان عملیات هیچ متغیری که دارای سطح معنی داری کمتر از سطح تعیین شده باشد در معادله حضور نخواهد داشت. جهت آنالیز داده‌ها از مدل رگرسیونی چندمتغیره گام به گام در محیط نرم‌افزاری SPSS، کمک گرفته شد. در نهایت با توجه به مقادیر مشاهده شده و برآورد شده پس از دفعازی کردن داده‌ها، اعتبارسنجی مدل‌ها برای ۱۵٪ داده‌ها با

جدول ۲- ارزیابی مدل بهینه شبکه عصبی- فازی

Table 2- Evaluation of optimal Neural-Fuzzy Network model

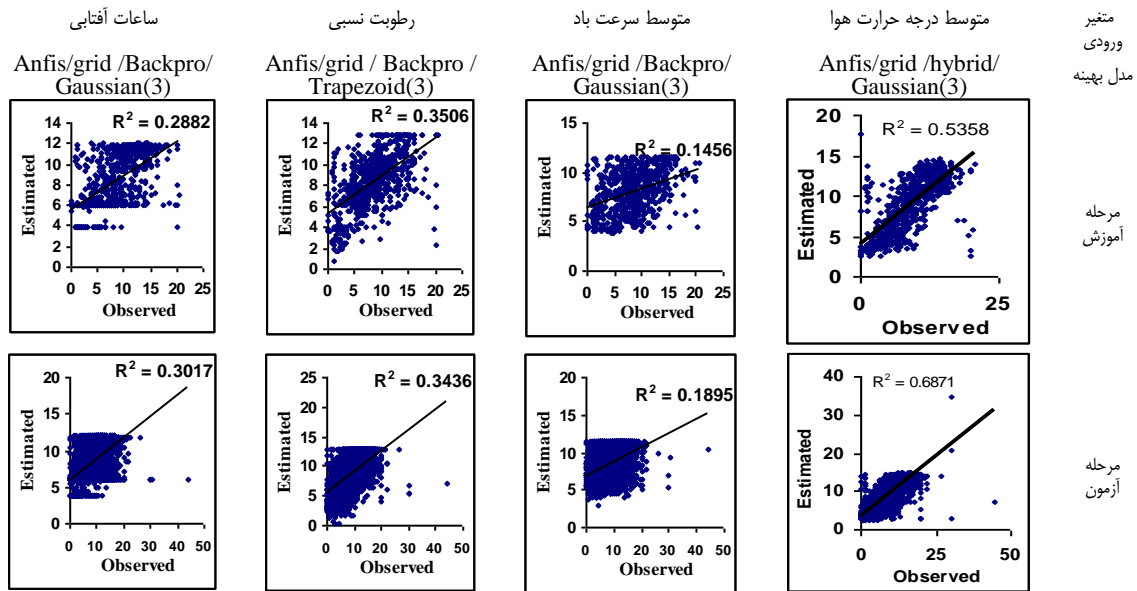
مرحله آزمون		مرحله آموزش		مشخصات مدل			متغیر ورودی	تعداد متغیر ورودی مدل
RMSE	R ²	RMSE	R ²	روش آموزش	نوع و تعدادتابع عضویت	منطقه سازی		
۳/۰۰	۰/۵۱	۲/۶۵	۰/۶۳	Hybrid	-	خوش	متوسط درجه حرارت هوا	ساعت آفتابی
۳/۰۳	۰/۵۰	۲/۶۹	۰/۶۲	Backpro	-	خوش		
۲/۹۹	۰/۵۲	۲/۶۴	۰/۶۳	Hybrid	مثلثی (۳)	شبکه		
۳/۰۶	۰/۴۹	۲/۷	۰/۶۲	Backpro	مثلثی (۳)	شبکه		
۲/۹۸	۰/۵۴	۲/۶۳	۰/۶۹	Hybrid	گوسی (۳)	شبکه		
۳/۰۸	۰/۵۰	۲/۶۸	۰/۶۳	Backpro	گوسی (۳)	شبکه		
۳/۰۳	۰/۵۰	۲/۶۹	۰/۶۲	Hybrid	زنگوله (۳)	شبکه		
۳/۰۵	۰/۵۰	۲/۶۹	۰/۶۲	Backpro	زنگوله (۳)	شبکه		
۲/۶۳	۰/۲۷	۲/۶۴	۰/۳۰	Hybrid	-	خوش		
۳/۰۹	۰/۲۸	۳/۶۶	۰/۲۹	Backpro	-	خوش		
۳/۶۱	۰/۲۸	۳/۶۳	۰/۳۰	Hybrid	مثلثی (۳)	شبکه	میانگین رطوبت نسبی	پیک متغیر
۳/۶۱	۰/۲۸	۳/۶۴	۰/۳۰	Backpro	مثلثی (۳)	شبکه		
۳/۶۱	۰/۲۸	۳/۶۴	۰/۳۰	Hybrid	گوسی (۳)	شبکه		
۳/۵۹	۰/۱۹	۳/۶۲	۰/۳۰	Backpro	گوسی (۳)	شبکه		
۳/۶۳	۰/۱۸	۳/۶۴	۰/۳۰	Hybrid	زنگوله (۳)	شبکه		
۳/۶۳	۰/۱۸	۳/۶۴	۰/۳۰	Backpro	زنگوله (۳)	شبکه		
۳/۴۵	۰/۱۴	۳/۵۱	۰/۳۴	Hybrid	-	خوش		
۳/۴۵	۰/۱۴	۳/۵۱	۰/۳۴	Backpro	-	خوش		
۳/۴۴	۰/۱۴	۳/۵۰	۰/۳۴	Hybrid	مثلثی (۳)	شبکه		
۳/۴۴	۰/۱۴	۳/۵۱	۰/۳۴	Backpro	مثلثی (۳)	شبکه		
۳/۴۴	۰/۱۴	۳/۵۱	۰/۳۴	Hybrid	گوسی (۳)	شبکه		
۳/۴۵	۰/۱۴	۳/۵۲	۰/۳۴	Backpro	گوسی (۳)	شبکه	میانگین سرعت باد	دو متغیر
۳/۴۵	۰/۱۴	۳/۵۱	۰/۳۴	Hybrid	زنگوله (۳)	شبکه		
۳/۹۷	۰/۱۴	۳/۹۷	۰/۱۷	Hybrid	-	خوش		
۳/۹۷	۰/۱۴	۳/۹۷	۰/۱۷	Backpro	-	خوش		
۳/۹۸	۰/۱۴	۳/۹۳	۰/۱۹	Hybrid	مثلثی (۳)	شبکه		
۳/۹۸	۰/۱۴	۳/۹۳	۰/۱۹	Backpro	مثلثی (۳)	شبکه		
۳/۹۷	۰/۱۴	۳/۹۳	۰/۱۹	Hybrid	گوسی (۳)	شبکه		
۳/۹۵	۰/۱۵	۳/۹۳	۰/۱۹	Backpro	گوسی (۳)	شبکه		
۳/۹۷	۰/۱۴	۳/۹۳	۰/۱۹	Hybrid	زنگوله (۳)	شبکه		
۳/۹۸	۰/۱۴	۳/۹۴	۰/۱۹	Backpro	زنگوله (۳)	شبکه		
۲/۸۶	۰/۵۵	۲/۵۴	۰/۶۶	Hybrid	-	خوش	متوسط سرعت باد + میانگین رطوبت نسبی	ساعت آفتابی + میانگین سرعت باد
۲/۹۱	۰/۵۴	۲/۵۶	۰/۶۶	Backpro	-	خوش		
۲/۹۰	۰/۵۴	۲/۵۱	۰/۶۷	Hybrid	مثلثی (۳)	شبکه		
۲/۹۱	۰/۵۴	۲/۵۷	۰/۶۵	Backpro	مثلثی (۳)	شبکه		
۲/۸۲	۰/۵۹	۲/۴۹	۰/۷۲	Hybrid	گوسی (۳)	شبکه		
۲/۸۷	۰/۵۵	۲/۵۸	۰/۶۶	Backpro	گوسی (۳)	شبکه		
۲/۹۳	۰/۵۳	۲/۴۹	۰/۶۷	Hybrid	زنگوله (۳)	شبکه		
۲/۹۲	۰/۵۳	۲/۵۸	۰/۶۵	Backpro	زنگوله (۳)	شبکه		
۳/۲۲	۰/۳۹	۳/۲۸	۰/۴۲	Hybrid	-	خوش		
۳/۲۲	۰/۳۹	۳/۲۹	۰/۴۲	Backpro	-	خوش		
۲/۹۰	۰/۱۹	۲/۲۸	۰/۴۲	Hybrid	مثلثی (۳)	شبکه	میانگین رطوبت نسبی + میانگین سرعت باد	ساعت آفتابی + میانگین سرعت باد
۳/۲۱	۰/۱۹	۳/۲۸	۰/۴۲	Backpro	مثلثی (۳)	شبکه		
۳/۲۸	۰/۴۰	۳/۲۷	۰/۴۳	Hybrid	گوسی (۳)	شبکه		
۳/۳۰	۰/۴۰	۳/۲۴	۰/۴۰	Backpro	گوسی (۳)	شبکه		
۳/۲۹	۰/۴۰	۳/۲۷	۰/۴۳	Hybrid	زنگوله (۳)	شبکه		
۳/۲۷	۰/۴۱	۳/۱	۰/۴۳	Backpro	زنگوله (۳)	شبکه		
۳/۳۶	۰/۲۸	۳/۲۵	۰/۴۲	Hybrid	-	خوش		
۳/۳۸	۰/۲۸	۳/۲۳	۰/۴۹	Backpro	-	خوش		
۳/۳۹	۰/۲۷	۳/۲۰	۰/۴۱	Hybrid	مثلثی (۳)	شبکه		
۳/۴۰	۰/۲۷	۳/۲۰	۰/۴۱	Backpro	مثلثی (۳)	شبکه		
۳/۳۹	۰/۲۷	۳/۲۰	۰/۴۱	Hybrid	گوسی (۳)	شبکه	میانگین سرعت باد + میانگین رطوبت نسبی	دو متغیر
۳/۴۱	۰/۲۷	۳/۲۵	۰/۴۹	Backpro	گوسی (۳)	شبکه		
۳/۳۸	۰/۲۷	۳/۲۹	۰/۴۱	Hybrid	زنگوله (۳)	شبکه		
۳/۳۹	۰/۲۷	۳/۲۲	۰/۴۰	Backpro	زنگوله (۳)	شبکه		
۲/۹۶	۰/۵۲	۲/۵۸	۰/۶۴	Hybrid	-	خوش		
۳/۰۲	۰/۵۰	۲/۶۸	۰/۶۰	Backpro	-	خوش		
۳/۰۴	۰/۵۰	۲/۶۰	۰/۶۲	Hybrid	مثلثی (۳)	شبکه		
۳/۰۶	۰/۴۹	۲/۷۰	۰/۶۰	Backpro	مثلثی (۳)	شبکه		
۳/۳۹	۰/۴۳	۲/۵۹	۰/۶۳	Hybrid	گوسی (۳)	شبکه		
۲/۹۷	۰/۵۱	۲/۶۷	۰/۶۱	Backpro	گوسی (۳)	شبکه	میانگین درجه حرارت + میانگین رطوبت نسبی	ساعت آفتابی + میانگین سرعت باد
۳/۰۶	۰/۴۹	۲/۵۹	۰/۶۳	Hybrid	زنگوله (۳)	شبکه		
۳/۰۳	۰/۵۰	۲/۶۹	۰/۶۰	Backpro	زنگوله (۳)	شبکه		
۰/۳۳	۰/۴۰	۳/۱۷	۰/۴۵	Hybrid	-	خوش		

ادامه جدول ۲

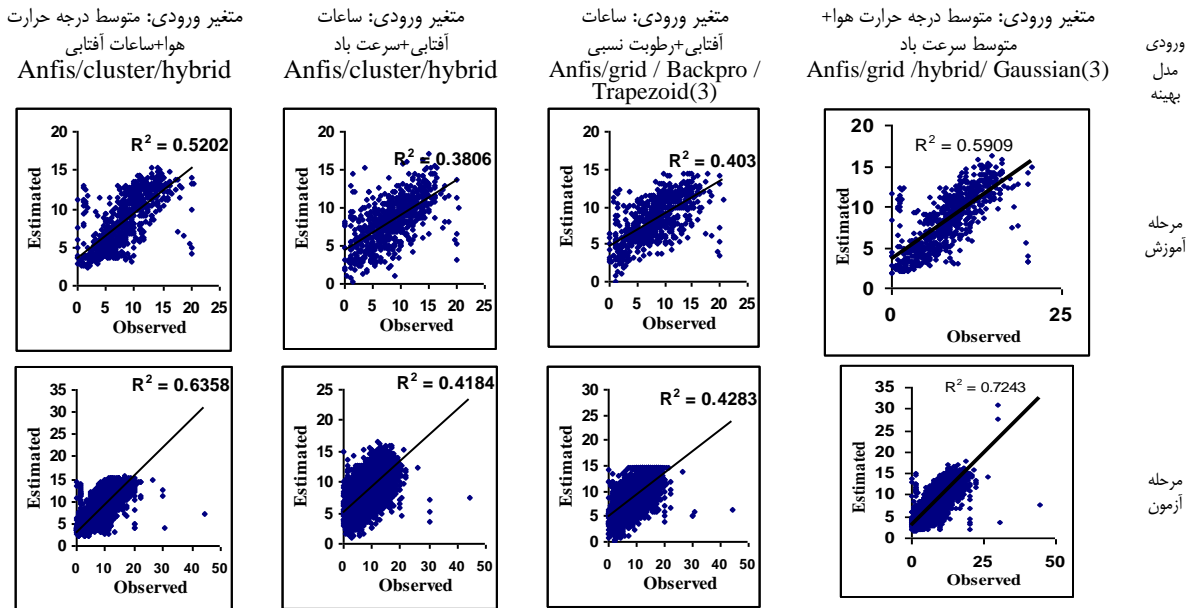
+ میانگین سرعت باد						
۳/۳۴	۰/۴۰	۳/۱۸	۰/۴۵	Backpro	-	خوش شبکه
۳/۳۳	۰/۴۰	۳/۱۷	۰/۴۵	Hybrid	مثالی (۳)	خوش شبکه
۳/۲۹	۰/۴۱	۳/۱۹	۰/۴۴	Backpro	مثالی (۳)	خوش شبکه
۳/۳۴	۰/۴۹	۳/۱۶	۰/۴۵	Hybrid	گویی (۳)	خوش شبکه
۳/۲۲	۰/۴۱	۳/۱۹	۰/۴۴	Backpro	گویی (۳)	خوش شبکه
۳/۲۳	۰/۴۰	۳/۱۷	۰/۴۵	Hybrid	زنگوله (۳)	خوش شبکه
۳/۲۸	۰/۴۱	۳/۱۵	۰/۴۶	Backpro	زنگوله (۳)	خوش شبکه
۳/۰۲	۰/۵۱	۲/۶۲	۰/۶۲	Hybrid	-	خوش
۳/۰۳	۰/۵۰	۲/۶۸	۰/۶۰	Backpro	-	خوش
۳/۰۳	۰/۵۰	۲/۶۷	۰/۶۰	Hybrid	مثالی (۳)	خوش شبکه
۳/۰۳	۰/۵۰	۲/۶۹	۰/۶۰	Backpro	مثالی (۳)	خوش شبکه
۳/۰۹	۰/۴۹	۲/۶۰	۰/۶۲	Hybrid	گویی (۳)	میانگین رطوبت نسبی
۲/۹۸	۰/۵۱	۲/۶۱	۰/۶۳	Backpro	گویی (۳)	+ میانگین درجه حرارت
۳/۰۳	۰/۵۰	۲/۶۲	۰/۶۲	Hybrid	زنگوله (۳)	+ میانگین درجه حرارت
۳/۰۵	۰/۵۰	۲/۷۳	۰/۶۰	Backpro	زنگوله (۳)	خوش شبکه
۳/۱۶	۰/۴۶	۲/۹۹	۰/۵۰	Hybrid	-	خوش
۳/۱۵	۰/۴۶	۳/۰۱	۰/۵۱	Backpro	-	خوش
۳/۱۴	۰/۴۶	۲/۹۵	۰/۵۲	Hybrid	مثالی (۳)	ساعت آفتابی
۳/۱۳	۰/۴۷	۳/۰۴	۰/۴۹	Backpro	مثالی (۳)	+ میانگین رطوبت نسبی
۳/۱۲	۰/۴۷	۲/۹۵	۰/۵۲	Hybrid	گویی (۳)	+ میانگین سرعت باد
۳/۱۷	۰/۴۷	۳/۰۵	۰/۴۹	Backpro	گویی (۳)	+ میانگین درجه حرارت هوا
۳/۱۵	۰/۴۶	۲/۹۶	۰/۵۲	Hybrid	زنگوله (۳)	خوش شبکه
۳/۱۱	۰/۴۷	۲/۸۵	۰/۵۲	Backpro	زنگوله (۳)	شبکه
۲/۹۹	۰/۵۲	۲/۶۰	۰/۶۲	Hybrid	-	خوش
۳/۰۶	۰/۵۰	۲/۶۷	۰/۶۰	Backpro	-	خوش
۳/۰۴	۰/۵۰	۲/۶۵	۰/۶۴	Hybrid	مثالی (۳)	ساعت آفتابی
۳/۰۴	۰/۵۰	۲/۶۹	۰/۶۰	Backpro	مثالی (۳)	+ میانگین رطوبت نسبی
۳/۰۰	۰/۵۱	۲/۵۵	۰/۶۴	Hybrid	گویی (۳)	+ میانگین سرعت باد
۲/۹۷	۰/۵۱	۲/۶۷	۰/۶۱	Backpro	گویی (۳)	+ میانگین درجه حرارت هوا
۲/۹۱	۰/۵۴	۲/۵۸	۰/۶۵	Hybrid	زنگوله (۳)	شبکه
۴/۱۹	۰/۴۰	۴/۲۰	۰/۱۵	Backpro	زنگوله (۳)	شبکه
۲/۸۷	۰/۵۵	۲/۴۶	۰/۶۸	Hybrid	-	خوش
۲/۸۷	۰/۵۵	۲/۵۴	۰/۶۶	Backpro	-	خوش
۳/۵۵	۰/۴۱	۲/۴۶	۰/۶۸	Hybrid	مثالی (۳)	ساعت آفتابی
۲/۹۱	۰/۵۴	۲/۵۸	۰/۶۵	Backpro	مثالی (۳)	+ میانگین سرعت باد
۳/۱۴	۰/۴۶	۲/۵۰	۰/۶۷	Hybrid	گویی (۳)	+ میانگین درجه حرارت هوا
۲/۸۶	۰/۵۶	۲/۵۷	۰/۶۶	Backpro	گویی (۳)	+ میانگین درجه حرارت هوا
۳/۰۳	۰/۰۳	۲/۴۹	۰/۶۸	Hybrid	زنگوله (۳)	شبکه
۲/۹۴	۰/۵۳	۲/۶۳	۰/۶۴	Backpro	زنگوله (۳)	شبکه
۲/۷۸	۰/۶۱	۲/۴۵	۰/۷۳	Hybrid	-	خوش
۳/۰۳	۰/۴۸	۲/۵۶	۰/۶۸	Backpro	-	خوش
۳/۲۰	۰/۴۶	۲/۴۸	۰/۶۸	Hybrid	مثالی (۳)	شبکه
۲/۹۰	۰/۵۴	۲/۵۷	۰/۶۵	Backpro	مثالی (۳)	متوسط درجه حرارت هوا
۳/۱۴	۰/۴۸	۲/۴۷	۰/۶۸	Hybrid	گویی (۳)	+ متوسط سرعت باد
۲/۱۶	۰/۵۵	۲/۴۶	۰/۶۶	Backpro	گویی (۳)	+ رطوبت نسبی
۳/۰۰	۰/۵۲	۲/۴۸	۰/۶۸	Hybrid	زنگوله (۳)	+ ساعات آفتابی
۴/۸۵	۰/۰۹	۴/۹۴	۰/۲۸	Backpro	زنگوله (۳)	شبکه
۲/۷۰	۰/۶۲	۲/۴۴	۰/۷۳	Hybrid	-	خوش
۲/۸۹	۰/۵۴	۲/۵۵	۰/۶۶	Backpro	-	خوش
۲/۹۷	۰/۵۳	۲/۴۱	۰/۶۹	Hybrid	مثالی (۳)	متوسط درجه حرارت هوا
۲/۹۱	۰/۵۴	۲/۵۹	۰/۶۵	Backpro	مثالی (۳)	+ متوسط سرعت باد
۳/۲۶	۰/۴۹	۲/۴۱	۰/۷۰	Hybrid	گویی (۳)	+ رطوبت نسبی
۲/۸۶	۰/۵۶	۲/۵۸	۰/۶۵	Backpro	گویی (۳)	+ ساعات آفتابی
۲/۸۳	۰/۵۶	۲/۴۶	۰/۶۸	Hybrid	زنگوله (۳)	شبکه
۵/۴۹	۰/۱۷	۵/۴۰	۰/۱۲	Backpro	زنگوله (۳)	شبکه

افزایش متغیر ورودی فزونی یافته است. این ضریب برای مدل‌های بهینه با ۱، ۲، ۳ و ۴ متغیره در داده‌های آموخته به ترتیب معادل ۶۸/۷۱، ۶۸/۲۳، ۷۲/۶۴ و ۷۲/۱۳ در ۷۳/۱۳ آزمون به ترتیب معادل ۰/۵۸، ۰/۵۹، ۰/۶۱ و ۰/۶۲/۱۵ بدست آمد.

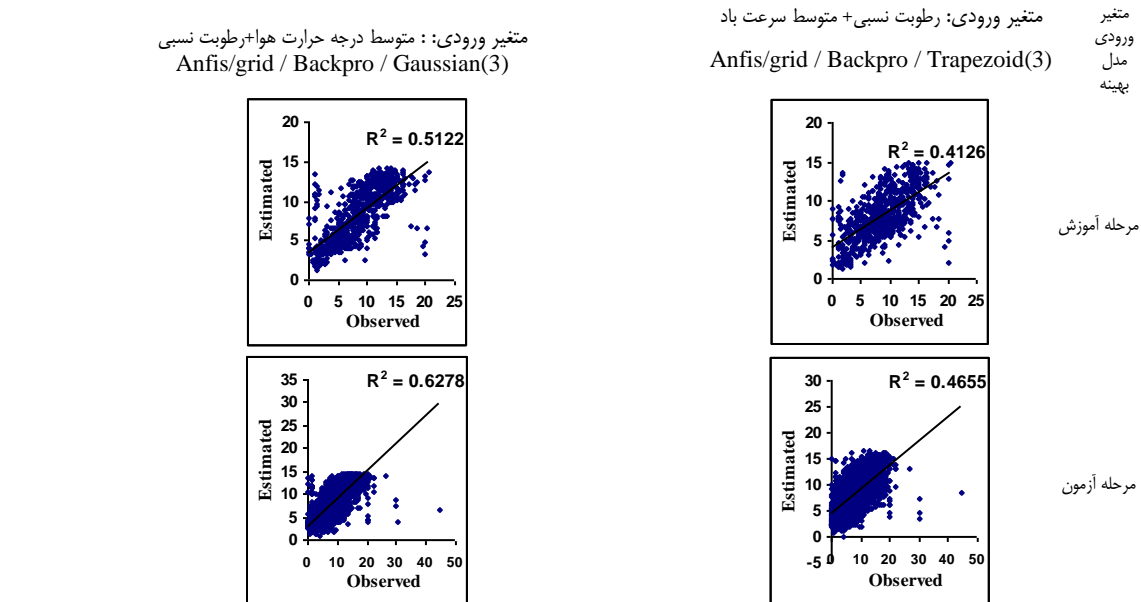
نمودار Q-Q پلات مدل بهینه سیستم استنتاج تطبیقی عصبی - فازی برای داده‌های آموخته و آزمون در وضعیت‌های مختلف متغیر ورودی (۱، ۲، ۳ و ۴ متغیر ورودی) در شکل‌های ۲ تا ۵ نمایش داده شده است. طبق این نتایج ضریب تبیین مدل که شاخصی مهم از دقت مدل می‌باشد، با



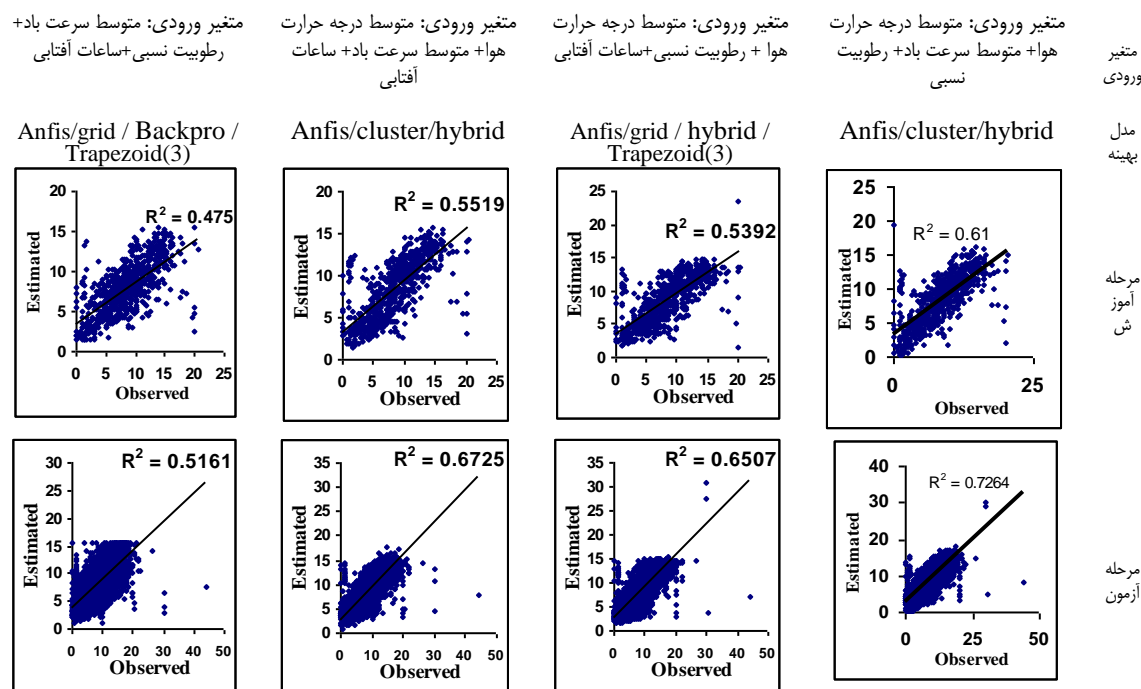
شکل ۲ - Q-Q پلات مدل بهینه ANFIS با ۱ متغیر ورودی
Figure 2. Q-Q plot of optimal ANFIS model with 1 input variable



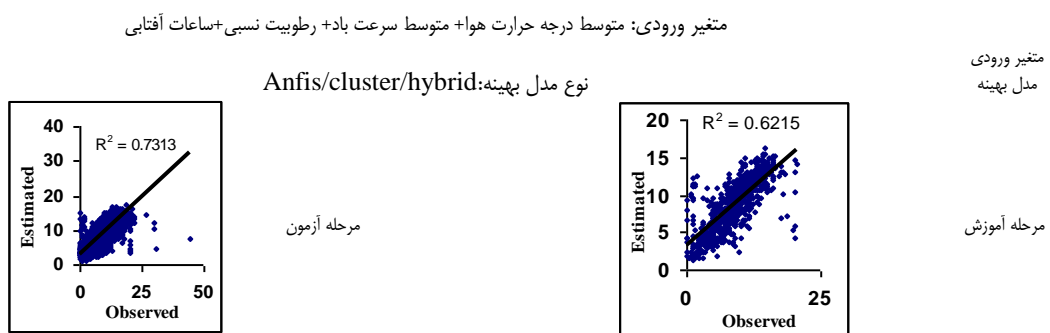
شکل ۳ - Q-Q پلات مدل بهینه ANFIS با ۲ متغیر ورودی
Figure 3. Q-Q plot of optimal ANFIS model with 2 input variables



شکل ۳ - Q-Q پلاٹ مدل بهینه ANFIS با ۲ متغیر ورودی
Figure 3. Q-Q plot of optimal ANFIS model with 2 input variables



شکل ۴ - Q-Q پلاٹ مدل بهینه ANFIS با ۳ متغیر ورودی
Figure 4. Q-Q plot of optimal ANFIS model with 3 input variables



شکل ۵ - Q-Q پلات مدل بهینه ANFIS با ۴ متغیر ورودی
Figure 5. Q-Q plot of optimal ANFIS model with 4 input variables

در جدول ۳ نمایش داده شده است. همچنین اعتبارسنجی مدل‌های رگرسیونی بر اساس شاخص‌های R^2 و RMSE در جدول ۴ ارائه شده است.

مدل رگرسیونی
طبق نتایج حاصل از مدل رگرسیونی با رویه گام به گام، ۳ مدل بهینه حاصل شد. فرمول و اجزای فرمول مدل‌های رگرسیونی برآورد تبخیر روزانه به همراه تجزیه واریانس آن‌ها

جدول ۳- مشخصات مدل بهینه رگرسیونی برآورد تبخیر روزانه با ورودی‌های مختلف در مرحله آموزش
Table 3. Characteristics of optimal regression model for estimating daily evaporation with different inputs at the Training stage

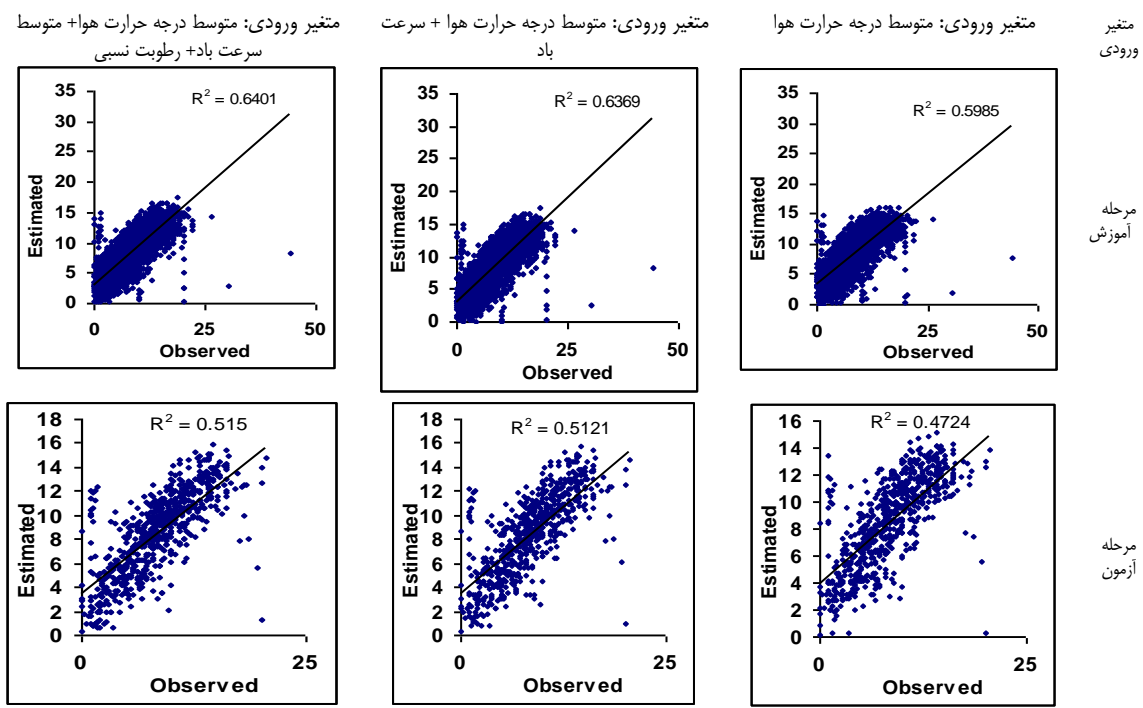
تعداد متغیر ورودی	مدل رگرسیونی	متغیرهای مدل	ضریب تعیین	F آزمون
۱	$Y=0.921 X_1 - 0.139$	تبخیر روزانه (میلی متر) $Y=$ $X_1 =$ متوسط درجه حرارت هوا (سانتیگراد)	$+0.598$	$+0.0069^{**}$
۲	$Y=0.85X_1+0.265X_2-0.204$	تبخیر روزانه (میلی متر) $Y=$ $X_1 =$ متوسط درجه حرارت هوا (سانتیگراد) $X_2 =$ متوسط سرعت باد (متر بر ثانیه)	$+0.637$	$+0.00408^{**}$
۳	$Y=0.801X_1+0.27X_2-0.058X_3-0.215$	تبخیر روزانه (میلی متر) $Y=$ $X_1 =$ متوسط درجه حرارت هوا (سانتیگراد) $X_2 =$ متوسط سرعت باد (متر بر ثانیه) $X_3 =$ رطوبت نسبی (%)	$+0.640$	$+0.0027^{**}$

جدول ۴- ارزیابی مدل بهینه رگرسیونی با ورودی‌های مختلف در مرحله آموزش و آزمون
Table 4. Evaluation of optimal regression model with different inputs at the Training and Testing stage

متغیر ورودی	مرحله آزمون	مرحله آموزش	مرحله آزمون	مرحله آموزش
متوسط درجه حرارت هوا			0.598	0.77
متوسط درجه حرارت هوا + متوسط سرعت باد			0.637	0.63
متوسط درجه حرارت هوا + متوسط سرعت باد + رطوبت نسبی			0.64	0.62

افزایشی این ضریب با افزایش متغیر ورودی از ۲ متغیر (متوسط درجه حرارت هوا و متوسط سرعت باد) به ۳ متغیر (متوسط درجه حرارت هوا، متوسط سرعت باد و رطوبت نسبی) به ترتیب برای داده‌های آزمون معادل 0.3 درصد و آزمون معادل 0.2 درصد بود که چندان ملاحظه و ملموس نمی‌باشند.

نمودار Q-Q پلات مدل‌های رگرسیونی با متغیرهای ورودی مختلف برای داده‌های آزمون و آزمون در شکل ۶ نمایش داده شده است. طبق بررسی‌ها روند افزایشی ضریب تبیین با افزایش ورودی از ۱ متغیر (متوسط درجه حرارت هوا) به ۲ متغیر (متوسط درجه حرارت هوا و متوسط سرعت باد) در داده‌های آزمون معادل 4.06 درصد و در داده‌های آزمون معادل 3.99 درصد بوده که چشمگیر است در حالی که روند



شکل ۶- Q-Q پلاٹ مدل های بهینه رگرسیونی با متغیرهای ورودی مختلف

Figure 6. Q-Q plot of optimal regression models with different input variables

در سناریوهای متغیر ورودی (۱، ۲ و ۳ متغیر ورودی) مدل های سیستم استنتاج تطبیقی عصبی - فازی در مقایسه با مدل های رگرسیونی باعث افزایش ضریب تبیینی به ترتیب معادل $6/34$ ، $7/70$ و $5/0$ در بخش داده های آزمون شده است. لذا از اینرو استفاده از مدل های سیستم استنتاج تطبیقی عصبی - فازی جهت افزایش دقت شبیه سازی از پیشنهادات این تحقیق به شمار می آید. روند افزایشی دقت مدل سیستم استنتاج تطبیقی عصبی - فازی نسبت به رگرسیون با افزایش دادن متغیرهای ورودی، در داده های آزمون، حاکی از قادر بودن تبیین بهتر روابط غیر خطی پیچیده بین عوامل محیطی و تبخیر روزانه، توسط مدل های سیستم استنتاج تطبیقی عصبی - فازی است که در این راستا کارایی بهتر انفیس خوش نسبت به انفیس شبکه با افزایش بردارهای ورودی، آسانی آموزش شبکه را نیز به همراه خواهد داشت.

طبق نتایج مدل رگرسیونی با اضافه نمودن ورودی ها، هریک از متغیرهای رطوبت نسبی و ساعت آفتابی به مدل رگرسیونی باعث تغییرات قابل ملاحظه ای شاخص های ارزیابی مدل مخصوصاً شاخص های اعتبار سنجی در بخش داده های آموزش و آزمون نشد. این مهم در حالی است که طبق این بررسی ها با اضافه کردن متغیر متوسط سرعت باد به مدل با متغیر ورودی متوسط درجه حرارت شاخص RMSE به ترتیب از $2/77$ به $2/63$ در داده های آموزش و $3/11$ به $3/11$ در داده های آزمون و شاخص R^2 از $59/8$ به $63/7$ در داده های آموزش و از 47 به 51 (درصد) در داده های آزمون تغییر یافت که نمایانگر افزایش دقت مدل است. ولی با افزایش دادن متغیر ورودی از دو متغیر (درجه حرارت هوا و رطوبت) به سه متغیر (متوسط درجه حرارت هوا، متوسط

نتایج حاصل از مدل سیستم استنتاج تطبیقی عصبی - فازی حاکی از آن است که در وضعیت متغیرهای ورودی مختلف، مشخصات مدل بهینه ANFIS متفاوت حاصل شد. بطوری که مدل بهینه نهایی با یک متغیر ورودی (متوسط درجه حرارت هوا) و دو متغیر ورودی (متوسط درجه حرارت هوا و متوسط سرعت باد) شامل انفیس از نوع شبکه با ۳ تابع عضویت گوسی بود در حالی که مدل بهینه با سه متغیر ورودی (متوسط درجه حرارت هوا، متوسط سرعت باد و رطوبت نسبی) و چهار متغیر ورودی (متوسط درجه حرارت هوا، متوسط سرعت باد، رطوبت نسبی و ساعت آفتابی) شامل انفیس از نوع خوش شد. این مهم با نتایج دستورانی و همکاران (۹) مبنی بر برتری کارایی مدل نروفازی خوش با افزایش ورودی های مدل، همسویی داشت.

در یک مقایسه مدل های سیستم استنتاج تطبیقی عصبی - فازی با یک متغیر ورودی (متوسط درجه حرارت هوا) نسبت به چهار متغیر ورودی (متوسط درجه حرارت هوا، متوسط سرعت باد، رطوبت نسبی و ساعت آفتابی) شاخص های ضریب تبیین داده های آزمون $8/57$ درصد افزایش و شاخص RMSE به میزان $3/0$ میلیمتر کاهش می یابد. از آنجا که طبق شاخص های اعتبار سنجی کمترین میزان RMSE و بیشترین میزان R^2 در داده های آزمون متعلق به زمانی بوده که ورودی های مدل شامل چهار متغیر ورودی می باشد بنابراین مدل بهینه چهار متغیری (انفیس خوش) بعنوان بهترین مدل جهت شبیه سازی با مدل سیستم استنتاج تطبیقی عصبی - فازی (ANFIS) معرفی می گردد.

با اضافه کردن متغیرهای ورودی به ترتیب متوسط درجه حرارت هوا، متوسط سرعت باد، رطوبت نسبی و ساعت آفتابی

طبق نتایج، هرچند که در مدل‌های تک متغیری ارتباط پدیده تبخیر روزانه به ترتیب با متغیرهای درجه حرارت هوا، رطوبت نسبی، ساعات آفتابی و متوسط سرعت باد ضعیف تر نمایان شد ولی در مدل بهینه دو متغیره دقیق‌ترین مدل از دو متغیر سرعت باد بعلاوه درجه حرارت هوا حاصل شد. این مهم حاکی از هم‌افزایی و تجمعی بودن اثرات این دو متغیر هواشناسی جهت افزایش تبخیر می‌باشد که باستی مدنظر پژوهشگران قرار گیرد.

در کل می‌توان چین نتیجه گرفت که می‌توان با تعییر دادن مدل شبیه‌سازی از مدل رگرسیونی به سیستم استنتاج تطبیقی عصبی- فازی، دقت شبیه‌سازی را بیش از ۱۰ درصد افزایش داد که لازمه آن استفاده از ۴ متغیر ورودی شامل متوسط درجه حرارت هوا، متوسط سرعت باد، رطوبت نسبی و ساعت آفتابی در مدل با نوع انفیس خوش است.

سرعت باد و رطوبت نسبی)، ضریب تبیین مدل در بخش داده‌های آموزش و آزمون افزایش چشمگیری نداشتند و ساعات آفتابی به دلیل افزایش ندادن ضریب تبیین مدل بعنوان ورودی موثر در مدل ۴ متغیر (متوسط درجه حرارت هوا، متوسط سرعت باد، رطوبت نسبی و ساعت آفتابی) حفظ نشد. دلیل این مهم می‌تواند احتمالاً به روابط غیرخطی دو متغیر رطوبت نسبی و ساعت آفتابی با تبخیر روزانه مربوط باشد که حتی علی‌رغم حفظ متغیر رطوبت نسبی در مدل ۳ رگرسیون چندمتغیره گام به گام، مدل‌های رگرسیونی قادر به شبیه‌سازی قوی روابط تبخیر با رطوبت نسبی نیستند. بنابراین هدف استفاده کارا و حداقل از داده‌های هواشناسی در شبیه‌سازی تبخیر روزانه هنگامی که از مدل‌های رگرسیونی استفاده می‌شود، زمانی محقق می‌گردد که از دو متغیر ورودی (متوسط درجه حرارت هوا و متوسط سرعت باد) کمک گرفته شود.

منابع

1. Afzali, A., M. Mahdavi and M.A. Zare Chahouki. 2010. Study efficiency Thornthwaite method comparison with class a Pan in south coastal of Iran. Journal of Watershed Management Research, 1(2):109-114 (In Persian).
2. Ahmadi, F., S. Ayashm, K. Khalili and J. Behmanesh. 2016. Application of ANFIS and SVM systems in order to estimate monthly reference crop evapotranspiration in the northwest of Iran. Journal of Water and Soil, 30 (1): 260-274 (In Persian).
3. Alizadeh, A. 2007. Principles of applied hydrology. Emam Reza International University Press (Astane Ghodse Razavi), Mashhad, Iran, 808 pp (In Persian).
4. Allawi, M.F. and A. El-Shafie. 2016. Utilizing RBF-NN and ANFIS Methods for Multi-Lead ahead Prediction Model of Evaporation from Reservoir. Water Resour Manage, 30(13): 4773-4788.
5. Azad Talatapeh, N., N. Behmanesh and J.M. Montaseri. 2013. Predicting potential evapotranspiration using time series models (Case Study: Urmia). Journal of Water and Soil, 27(1): 213-223 (In Persian).
6. Babamiri, O., H. Nowzari and S. Maroofi. 2017. Potential evapotranspiration estimation using stochastic time series model (Case study: Tabriz). Journal of Watershed Management Research, 8(15): 137-146 (In Persian).
7. Daneshfaraz, R. 2015. Sensitivity analysis of the effective variables upon daily evaporation using Garson equation and artificial neural network (Case Study: Tabriz city). Journal of Geography and Planning, 19(54): 127-142 (In Persian).
8. Dastorani, M.T., S. Poormohammadi, A.R. Massah Bavani and M.H. Rahimian. 2010. Evapotranspiration condition in Yazd station under uncertainties of different GHG emission scenarios and ET estimation models. Journal of Watershed Management Research, 1(2): 1-20 (In Persian).
9. Dastorani, M.T., H. Sharifi daraii, A. Talebi and A.R. Moghadamnia. 2011. Evaluation of the application of artificial neural networks and adaptive neuro-fuzzy inference systems for rainfall-runoff modelling in Zayandeh_rood dam basin. Journal of Water and Wastewater, 22(4): 114-125 (In Persian).
10. Dehghani, A.A., M. Piri, M. Hesam and N. Dehghani. 2010. Estimation of daily pan evaporation by using MLP, RBF and Recurrent Neural Networks. Journal of Water and Soil Conservation, 17(2): 49-67 (In Persian).
11. Farshadfar, E.A. 2005. Multivariate Principle and Procedures of Statistics, Razi University Press, Kermanshah, Iran, 734 pp (In Persian).
12. Goyal, M., B. Bharti, J. Quilty, J. Adamowski and A. Pandey. 2014. Modeling of daily pan evaporation in sub tropical climates using ANN, LS-SVR, Fuzzy Logic and ANFIS. Expert Systems with Applications, 41: 5267-5276.
13. Issak, E.H. and R.M. Srivastava. 1989. An introduction to applied geostatistics. Oxford University Press, 561 pp.
14. Kisi, O. 2006. Daily pan evaporation modelling using a neuro-fuzzy computing technique, Journal of Hydrology, 329: 636-646.
15. Kisi, O., O. Genc, S. Dinc and M. Zounemat- Kermani. 2016. Computers and Electronics in Agriculture, 122: 112-117.
16. Mahdavi, S., A. Rahimikhoob and A. Montazar. 2011. Estimation of monthly pan evaporation using artificial neural network based on meteorological data (Case study; Southern coasts of the Caspian sea), Iran-Water Resources Research, 7(2): 71-79 (In Persian).
17. McCabe, G.J., L.E. Hay, A. Bock, S.L. Markstrom and R.D. Atkinson. 2015. Inter-annual and spatial variability of Hamon potential evapotranspiration model coefficients. Journal of Hydrology, 521: 389-394.

- ۲۱۱
18. Miralles, D.G., R.A.M. De Jeu, J.H. Gash, T.R.H. Holmes and A.J. Dolman. 2011. Magnitude and variability of land evaporation and its components at the global scale. *Hydrology and Earth System Sciences Journal*, 15: 967-981.
 19. Moradi, H., S.M. Ansari, A. Hasheminia, A. Alizadeh, K. Vahidian and S.M.J. Mosavi. 2012. Estimation of daily reference evapotranspiration with Fuzzy inference systems. *Journal of Water and Soil*, 26(4): 854-863 (In Persian).
 20. Noori, G.H., A. Fallah-Ghalhary and S.H. Sanaei-Nejad. 2013. Modeling of potential evapotranspiration by artificial neural network from minimum climatic variables in Mashhad synoptic station. *Journal of Water and Soil Conservation*, 20(5): 163-178 (In Persian).
 21. Nourani, V. and M. Sayyahfard. 2013. Sensitivity Analysis of ANN Inputs in Estimating Daily Evaporation. *Journal of Water and Waste water*, 24(3): 88-100 (In Persian).
 22. Piri, J., K. Mohammadi, S.O. Shamshirband and A. Shatirah. 2016. Assessing the suitability of hybridizing the Cuckoo optimization algorithm with ANN and ANFIS techniques to predict daily evaporation. *Environmental Earth Sciences*, 75(246): 1-13.
 23. Rahmati, E., M. Montazeri, A. Gandomkar and M. Lshanizand. 2015. Evaporation predicts using artificial neural network and climat signals in Dez basin. *Geographical Research*, 30(117): 261-274 (In Persian).
 24. Roderick, M.L., M.T. Hobbins and G.D. Farquhar. 2009. Pan evaporation trends and the terrestrial water balance energy balance and interpretation. *Geography Compass*, 3: 761-780.
 25. Sabziparvar, A.A., H. Zare Abyaneh and M. Bayat Varkeshi. 2010. Model comparison between predicted soil temperatures using ANFIS model and regression methods in three different climates, *Journal of Water and Soil*, 24(2): 274-285 (In Persian).
 26. Shabaninia, F. and S. Saeednia. 2007. Fundamental of Fuzzy control texbox using MATLAB. Khaniran press, 135 pp (In Persian).
 27. Shayannejad, M., J. Sadatinejad and H. Fahmi. 2007. Determination of evapotranspiration by using fuzzy regression, *Iranian Water Research Journal*, 3: 9-19 (In Persian).
 28. Shirasath, P.B and A.K. Singh. 2010. A comparative study of daily pan evaporation estimation using ANN, regression and climate based models, *Water Resource Management*, 24: 1571-1581.
 29. Soltani, J., A.R. Moghaddamnia, J. Piri and J. Mirmoradzehi. 2013. Performance comparison of integrated models of NN-ARX and ANFIS with GA-GT to daily pan evaporation estimation under arid and hot Climate of aluchistan, *Journal of Water and Soil*, 27(2): 381-393 (In Persian).
 30. Wang, Y.M., S. Traore and T. Kerh. 2008. Neural network approach for estimating reference evapotranspiration from limited climatic data in Burkina Faso, *WSEAS, Transactions on Computers*, 7: 704-713.
 31. Zare Abyaneh, H., M. Bayat Varkeshi, S. Marofi and R. Amiri Chayjan. 2010. Evaluation of artificial neural network and adaptive neuro fuzzy inference system in decreasing of reference evapotranspiration variables. *Journal of Water and Soil*, 24(2): 297-305 (In Persian).

Simulation of Daily Evaporation Using Adaptive Neuro-Fuzzy Inference Systems (ANFIS) and Multivariate Regression (MR) IN Tabriz Synoptic Satation

Sedigheh Mohamadi¹and Alijan Abkar²

1- Assistant Professor, Institute of Science and High Technology and Environmental Sciences, Graduate University of Advanced Technology, Kerman, Iran.
(Corresponding author: mohamadisedigeh@gmail.com)

2- Assistant Professor, Education and Extension Organization (AREEO), Kerman Agricultural and Natural Resources Research and education Center

Received: June 28, 2016

Accepted: April 4, 2017

Abstract

Using empirical models for estimating evaporation requires a lot of variables that some of them can not be measured in the stations. Therefore, this study aimed to simulate the daily evaporation of Tabriz synoptic satation using meteorological data including average temperature of air (c), wind velocity mean (m/s), relative humidity (%) and sun light hours by Adaptive Neuro-Fuzzy Inference Systems (ANFIS) and Multivariate Regression (MR) in the different architectures and input variables. After standardization of data, 85% of the data was used for network training and the efficiency of models (with indicators RMSE and R² indicators) was conducted on testing data that included 15% of data. The results illustrated that the optimal model of ANFIS were obtained grid method (with three Gaussian membership functions) when one and two variables used as inputs and gained cluster method when three and four variables used as inputs. Adding relative humidity variable to the multivariate regression model didnot cause a significant changes in validation criterias of the training and testing data and also sun light hour's variable was excluded from the multivariate regression model. The results showed that ANFIS simulation compared to multivariate regression can increase the coefficient of determination of model to more than 10 percent, which requires using of cluster method and four input variables (avearage temperature of air, wind velocity mean, relative humidity and sun light hours).

Keywords: Daily evaporation, Tabriz, Multiple Regression, Modeling, Neuro-Fuzzy